

Un nuevo y fascinante vecino: Althéra

Índice

1. Historia del descubrimiento
2. Conoce a Althéra
3. Los soles de Althéra
4. Estructura general de Althéra
5. Planetas interiores
6. Planetas exteriores
7. Lunas y satélites menores
8. Fenómenos destacados
9. Habitabilidad y astrobiología
10. Conclusiones y perspectivas futuras

1. Historia del descubrimiento

1.1 Primeras observaciones y sospechas iniciales

El sistema binario **Althéra** (*HD 4579 AB*) fue detectado por primera vez en el año 2032 durante una campaña de observación del **Observatorio Espacial James Webb**, dirigida por la astrofísica chilena **Dra. Mariela Estay**. La misión principal era estudiar la composición atmosférica de exoplanetas candidatos a la habitabilidad, pero un patrón anómalo en el flujo luminoso proveniente de la constelación de Orión llamó la atención del equipo. El análisis de curvas de luz reveló oscilaciones periódicas dobles, un indicio claro de la presencia de **dos estrellas en órbita mutua** y varios cuerpos orbitando de forma circumbinaria.

1.2 Confirmación mediante técnicas combinadas

En los meses siguientes, un consorcio internacional liderado por la **Agencia Espacial Europea (ESA)** y el **Instituto Max Planck de Astronomía** desplegó observaciones complementarias utilizando:

- **ELT (Extremely Large Telescope)** en el Desierto de Atacama para espectroscopía de alta resolución.
- **Telescopio Espacial Nancy Grace Roman** para fotometría de gran precisión en tránsitos.
- Interferometría de radio desde la red **Very Long Baseline Array (VLBA)** para afinar la distancia y parámetros orbitales del sistema.

Fue el equipo del astrónomo estadounidense **Dr. Jonathan Kepler-Saunders** quien confirmó, mediante el método de velocidad radial ultraestable, la existencia de **cinco planetas principales** y varios cinturones de escombros.

1.3 Descubrimiento revolucionario de la zona habitable circumbinaria

El hallazgo más impactante llegó en 2034, cuando la misión **LUVOIR-B** (Large UV/Optical/IR Surveyor) detectó la firma espectral de **vapor de agua, oxígeno molecular y metano** en la atmósfera de **Aurelia III**, un planeta ubicado en la zona habitable del sistema, orbitando a ambos soles. Este fue el **primer caso documentado de un mundo potencialmente habitable en un sistema binario cercano** —a tan solo **42,7 años luz de la Tierra**—, lo que lo convierte en un candidato ideal para futuras misiones de exploración interestelar.

1.4 Importancia científica y proyección futura

El descubrimiento de **Althéra** revolucionó la astrobiología y la física orbital por tres razones clave:

1. **Dinámica circumbinaria estable** — demostró que los planetas pueden mantener órbitas estables y climas equilibrados alrededor de dos soles, desafiando modelos anteriores.
2. **Química atmosférica compleja** — Aurelia III presenta una mezcla de gases que, en equilibrio fotoquímico, sugieren procesos biológicos o geoquímicos activos.
3. **Proximidad relativa** — su cercanía permite observaciones directas en la próxima década con telescopios como el **Habitable Worlds Observatory (HWO)** y misiones de espectrometría directa de superficie como **Starshot Spectra**.

En 2036, la **Unión Astronómica Internacional** otorgó a este hallazgo el **Premio Messier de Descubrimiento Astronómico** y estableció el **Programa Althéra**, un plan coordinado de investigación que combina observaciones remotas, simulaciones climáticas y diseño de futuras sondas interestelares.

2. Conoce a Althéra

2.1 Localización en la galaxia

El sistema binario **Althéra (HD 4579 AB)** se encuentra en el brazo de Orión de la **Vía Láctea**, a una distancia de **42,7 años luz** de la Tierra. Su posición aparente en el cielo se localiza próxima a la nebulosa Barnard's Loop, en la constelación de **Orión**, lo que lo hace visible con telescopios de aficionado de alta calidad como un débil punto de luz dorado. Gracias a su relativa cercanía, las señales luminosas provenientes de Althéra llegan con una atenuación mínima, permitiendo obtener espectros muy detallados incluso de sus planetas menores.

2.2 Disposición y dinámica de un sistema binario

Althéra está compuesto por **dos estrellas principales**:

- **Althéra A (HD 4579 A)**, una enana amarilla-blanca de tipo F7V, más masiva y luminosa que el Sol.
- **Althéra B (HD 4579 B)**, una enana naranja de tipo K2V, algo más fría y longeva.

Ambas estrellas orbitan alrededor de un centro de masa común en un periodo de **83 días**, con una separación media de **0,42 UA** (Unidades Astronómicas). La interacción gravitatoria entre ellas crea un campo de fuerzas complejo que condiciona la estabilidad de los planetas circumbinarios.

A diferencia de los sistemas planetarios con una única estrella, en **Althéra** la **zona habitable** se desplaza hacia órbitas más amplias para evitar los efectos térmicos extremos que se producirían en regiones cercanas a cualquiera de las dos estrellas.

2.3 Singularidades astronómicas

Lo que hace a **Althéra** excepcional frente a otros sistemas binarios conocidos es la **estabilidad térmica en su zona habitable circumbinaria**. Simulaciones realizadas con el **Centro de Modelado Planetario de la NASA** indican que Aurelia III recibe un flujo de radiación promedio similar al de la Tierra, pero con variaciones estacionales más complejas debido a los ciclos combinados de ambas estrellas.

Entre sus rasgos distintivos:

- **Luminiscencia variable combinada**: las diferencias de color y brillo entre Althéra A y B generan amaneceres y atardeceres dobles de tonalidades doradas y anaranjadas.
- **Influencia gravitacional múltiple**: la presencia de dos gigantes gaseosos exteriores, Zephyros IV y Krion V, ayuda a limpiar el espacio interior de objetos errantes, protegiendo a los planetas habitables de impactos masivos frecuentes.
- **Cinturón de Arges activo**: región rica en asteroides metálicos, con colisiones frecuentes que producen brillantes lluvias de meteoros observables desde Aurelia III.

En conjunto, Althéra constituye un laboratorio natural para estudiar cómo la vida —si existe o llegara a desarrollarse— podría adaptarse a condiciones lumínicas, gravitacionales y climáticas mucho más complejas que las de nuestro sistema solar.

3. Los soles de Althéra

3.1 Clasificación espectral y diferencias principales

El corazón del sistema **Althéra** está formado por un par estelar bien contrastado:

- **Althéra A (HD 4579 A)**: estrella de tipo **F7V**, más caliente y luminosa que el Sol, con un tono blanco-dorado.
- **Althéra B (HD 4579 B)**: estrella de tipo **K2V**, más fría y longeva, de tonalidad naranja intensa.

Esta combinación de espectros produce un ambiente luminoso único en los planetas circumbinarios, donde la radiación es más equilibrada en el rango visible y cercana al infrarrojo, favoreciendo la fotosíntesis de potenciales formas de vida adaptadas a ambas fuentes.

3.2 Masas, radios y luminosidades comparadas

El sistema binario Althéra está formado por dos estrellas de características bien contrastadas:

Althéra A, más masiva y luminosa, con 1,28 masas solares, un radio de 1,32 radios solares y una temperatura superficial de 6.350 K, y **Althéra B**, más pequeña y fría, con 0,82 masas solares, 0,74 radios solares y 4.950 K. Aunque la luminosidad de Althéra A (2,4 veces la del Sol) domina el aporte energético global, la presencia de Althéra B, con una luminosidad de 0,39 L_\odot , actúa como un regulador térmico que suaviza las variaciones extremas de temperatura en la zona habitable, contribuyendo a su estabilidad a largo plazo.



Parámetro	Althéra A	Althéra B
Masa	1,28 M_\odot	0,82 M_\odot
Radio	1,32 R_\odot	0,74 R_\odot
Luminosidad	2,4 L_\odot	0,39 L_\odot
Temperatura superficial	6.350 K	4.950 K

La diferencia de luminosidad significa que, aunque Althéra A domina el aporte energético, Althéra B contribuye de manera significativa a la estabilidad térmica del sistema, suavizando las variaciones extremas en la zona habitable.

3.3 Ciclo de vida y edad estimada del sistema binario

Estudios de metalicidad realizados con el **ELT** indican que ambas estrellas tienen composiciones químicas similares, con una proporción de elementos pesados algo mayor que la del Sol ($[Fe/H] \approx +0,08$). Esto sugiere que se formaron a partir de la misma nube molecular hace aproximadamente **4.900 millones de años**, una edad comparable a la del Sistema Solar.

Althéra A, al ser más masiva, evolucionará hacia gigante roja en unos 4.000 millones de años, mientras que Althéra B permanecerá estable durante varios miles de millones más. Esta diferencia temporal tendrá un fuerte impacto en la evolución futura de los planetas circumbinarios.

3.4 Interacción gravitatoria y efectos sobre la zona habitable

La órbita mutua de las dos estrellas, con una separación media de **0,42 UA** y una excentricidad de 0,12, genera un entorno gravitacional complejo. Sin embargo, simulaciones dinámicas realizadas por el **Centro de Dinámica Planetaria de París** muestran que:

- Las órbitas de los planetas a más de 1,8 UA del centro binario son estables a escalas de miles de millones de años.
- La **zona habitable circumbinaria** se extiende aproximadamente de 1,9 a 2,7 UA, con Aurelia III en el centro de esta franja.
- Las perturbaciones periódicas pueden producir ciclos climáticos más largos que los terrestres, algo que influiría en la biosfera si existe vida.

Además, la interacción gravitacional da lugar a un fenómeno visual característico: eclipses parciales recíprocos visibles desde los planetas, donde una estrella pasa por delante de la otra, provocando descensos breves en la luminosidad global y alteraciones temporales en la climatología local.

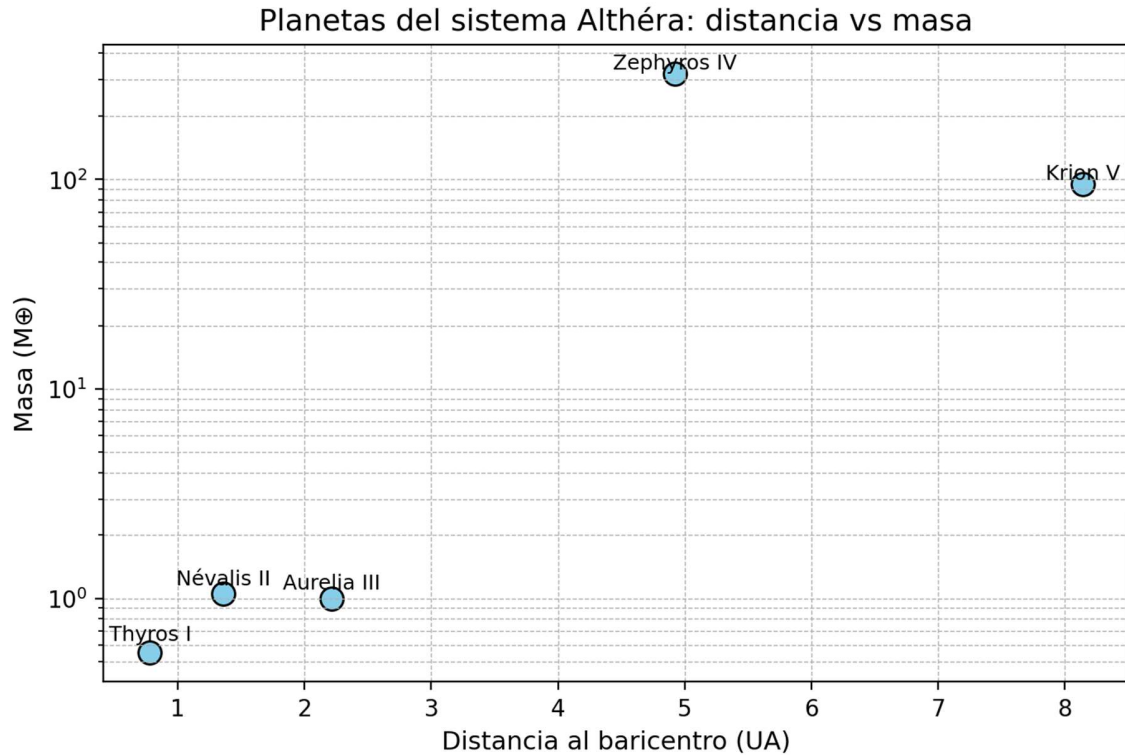
Adéndum: Althéra A y B: Una danza de luz y gravedad

Cuando **Althéra A** agote el hidrógeno de su núcleo y entre en su fase de **gigante roja**, su radio podría expandirse hasta abarcar más de **1 UA**, envolviendo potencialmente las órbitas interiores y alterando drásticamente la estabilidad de cualquier planeta cercano. Durante este proceso, perderá gran parte de su masa por vientos estelares intensos, lo que provocará una expansión general de las órbitas circumbinarias. La disminución de masa en el sistema reducirá la atracción gravitatoria sobre **Althéra B**, aumentando la separación media entre ambas y debilitando su interacción. Una vez que Althéra A expulse sus capas exteriores y se transforme en una **enana blanca** caliente, su contribución luminosa será mínima, dejando a Althéra B como la principal fuente de energía para los planetas supervivientes. Este cambio podría desplazar la zona habitable hacia el interior y, en consecuencia, modificar radicalmente la habitabilidad de mundos como **Aurelia III**.

4. Estructura general del sistema planetario

4.1 Distribución de órbitas y distancias medias

El sistema circumbinario de **Althéra** alberga cinco planetas principales, múltiples lunas y un cinturón de asteroides prominente. Las órbitas son relativamente coplanares, con inclinaciones menores a 3° , lo que sugiere una formación a partir de un disco protoplanetario bien definido.



A continuación se muestran las distancias medias al **baricentro binario** y los períodos orbitales:

Cuerpo	Tipo	Distancia media (UA)	Periodo orbital (días terrestres)
Thyros I (HD 4579 Ab)	Rocoso	0,78	215
Névalis II (HD 4579 Ac)	Rocoso	1,36	397
Cinturón de Arges	Asteroides metálicos	1,65 – 1,85	
Aurelia III (HD 4579 Ad)	Rocoso, habitable	2,21	589
Zephyros IV (HD 4579 Ae)	Gigante gaseoso	4,92	2.689
Krion V (HD 4579 Af)	Gigante helado	8,14	6.873

4.2 Tipología de planetas

- **Rocosos interiores:** *Thyros I* y *Névalis II* presentan composiciones basadas en silicatos y metales, con escasa o nula actividad atmosférica en el primero y atmósfera densa de CO₂ en el segundo.
- **Planeta habitable:** *Aurelia III*, en la zona habitable circumbinaria, combina océanos líquidos y atmósfera respirable, con una climatología compleja debido al doble ciclo solar.
- **Gigantes exteriores:** *Zephyros IV* y *Krion V* ejercen un papel protector al desviar cometas y asteroides, estabilizando el entorno interior.

4.3 Cinturones de asteroides y discos de escombros

El **Cinturón de Arges** es una franja de asteroides metálicos y rocosos situada justo más allá de Névalis II. Sus colisiones frecuentes generan un polvo fino detectable por observación infrarroja desde la Tierra, y provocan lluvias de meteoros espectaculares en Aurelia III. Más allá de Krion V, un **disco de escombros externo** indica que el sistema aún conserva remanentes de su formación, con objetos helados similares al Cinturón de Kuiper.

4.4 Estabilidad orbital en un sistema binario

La proximidad relativa de las dos estrellas (0,42 UA) significa que cualquier planeta con órbita inferior a 1,8 UA sería inestable a largo plazo. Esto explica por qué no existen planetas entre las estrellas y Thyros I: cualquier cuerpo en esa región habría sido expulsado o absorbido en fases tempranas. Simulaciones a 100 millones de años realizadas por el **Centro Europeo de Mecánica Celeste** muestran que las órbitas

actuales permanecen estables, siempre que no se produzcan interacciones con grandes cometas del disco exterior.

5. Planetas interiores

En el sistema **Althéra**, los tres planetas interiores orbitan completamente fuera de la influencia gravitacional directa de cada estrella individual y giran en torno al centro de masa binario. La información disponible procede de una combinación de espectroscopía de transmisión, curvas de luz de tránsito y modelado teórico, por lo que algunos detalles siguen siendo objeto de debate en la comunidad científica.

5.1 Thyros I — El mundo de hierro desnudo (HD 4579 Ab)

- **Tipo:** Planeta rocoso metálico.
- **Distancia media:** 0,78 UA.
- **Periodo orbital:** 215 días terrestres.
- **Radio estimado:** 0,86 R⊕.
- **Composición probable:** Núcleo de hierro-níquel que ocupa hasta el 70 % del volumen planetario.
- **Atmósfera:** Prácticamente inexistente, barrida por el intenso viento combinado de ambas estrellas.
- **Temperatura media de superficie:** ~460 °C.

Las mediciones sugieren que **Thyros I** podría ser un **planeta núcleo** —el remanente de un mundo mayor despojado de su manto por impactos colosales en el pasado. Su superficie reflejaría destellos metálicos visibles incluso desde telescopios terrestres en el infrarrojo cercano.

5.2 Névalis II — El planeta criovolcánico (HD 4579 Ac)

- **Tipo:** Planeta rocoso con criovulcanismo.
- **Distancia media:** 1,36 UA.
- **Periodo orbital:** 397 días terrestres.
- **Radio estimado:** 1,12 R⊕.
- **Atmósfera:** Densa, rica en dióxido de carbono, con nubes finas de cristales de hielo en la alta troposfera.
- **Temperatura media de superficie:** ~−40 °C.

Observaciones infrarrojas han detectado emisiones térmicas puntuales en latitudes polares, interpretadas como **plumas de material volátil** (agua, amoníaco y metano) expulsado por criovolcanes. Este fenómeno, combinado con la atmósfera espesa, sugiere un ciclo activo de liberación y reciclaje de compuestos volátiles.

5.3 Aurelia III — El planeta azul de dos soles (HD 4579 Ad)

- **Tipo:** Planeta rocoso habitable.
- **Distancia media:** 2,21 UA.
- **Periodo orbital:** 589 días terrestres.

- **Radio estimado:** 1,04 R \oplus .
- **Atmósfera:** N₂-O₂ con 0,9 % de metano y vapor de agua abundante.
- **Temperatura media de superficie:** 17 °C (media global).

Aurelia III se encuentra en el centro de la zona habitable circumbinaria, con vastos océanos que cubren aproximadamente el 72 % de la superficie. Los continentes presentan vegetación en tonos verde oscuro y púrpura —posiblemente adaptación a un espectro lumínico que combina la radiación de tipo F y K—. Las estaciones, influenciadas por el ciclo combinado de dos soles, son largas y complejas, con “dobles equinoccios” cada órbita.

Adendum: mundos exóticos y posibilidades de vida

Aunque **Thyros I** se presenta como un mundo abrasador y carente de atmósfera densa, su superficie metálica podría sostener una tenue y efímera exosfera de sodio, nacida de la sublimación de minerales bajo el implacable bombardeo de radiación de sus dos soles, un espectáculo sutil que recuerda a los destellos amarillentos observados en Mercurio.

Más allá, **Névalis II** es un planeta de hielo y fuego criogénico, donde plumas cargadas de compuestos orgánicos simples se alzan desde criovolcanes polares. Estas emanaciones alimentan la imaginación científica con la posibilidad de biosferas ocultas bajo gruesas costras heladas, aisladas de un exterior gélido y hostil, pero sostenidas por la energía secreta de reacciones geoquímicas.

En el corazón de la zona habitable, **Aurelia III** respira un aire marcado por el misterio: su atmósfera exhibe un desequilibrio químico inusual, donde oxígeno, metano y trazas de óxido nitroso coexisten en una danza improbable que podría delatar la mano invisible de la vida. De ser así, sus hipotéticos organismos habrían surgido bajo un ciclo perpetuo de luz y sombra doble, moldeando ritmos vitales ajenos a cualquier referencia terrestre.

6. Planetas exteriores

Los dos planetas exteriores de **Althéa**, **Zephyros IV** y **Krion V**, ejercen una influencia gravitacional decisiva en la estabilidad del sistema circumbinario. Ambos muestran características que los convierten en auténticos mundos exóticos, y sus sistemas de lunas ofrecen laboratorios naturales para la exploración futura.

6.1 Zephyros IV — El gigante anillado de los destellos polares (HD 4579 Ae)

- **Tipo:** Gigante gaseoso.
- **Distancia media:** 4,92 UA.
- **Periodo orbital:** 2.689 días terrestres (~7,36 años).
- **Radio estimado:** 1,07 R ϖ .

- **Composición atmosférica:** Hidrógeno, helio, amoníaco y trazas de hidrocarburos.

Zephyros IV está rodeado por un **sistema de anillos excepcionalmente ancho** (hasta 230.000 km), compuesto en su mayoría por partículas de hielo de agua mezcladas con cristales de amoníaco. Estos anillos reflejan la luz combinada de las dos estrellas, generando destellos visibles incluso en el espectro óptico desde telescopios terrestres.

Lunas destacadas:

- **Selvaris:** Mundo oceánico cubierto por una capa de hielo de 40 km, con indicios de océanos subsuperficiales salinos.
- **Tirros:** Luna volcánica con actividad intensa, plumas de dióxido de azufre y campos magnéticos locales detectados.

La interacción entre el campo magnético de Zephyros y el viento estelar combinado produce **auroras polares dobles**, visibles en el ultravioleta y el infrarrojo cercano.

6.2 Krion V — El titán helado de la inclinación imposible (HD 4579 Af)

- **Tipo:** Gigante helado.
- **Distancia media:** 8,14 UA.
- **Periodo orbital:** 6.873 días terrestres (~18,82 años).
- **Radio estimado:** 0,96 R_⊕.
- **Composición atmosférica:** Metano, nitrógeno molecular, trazas de etano.
- **Inclinación axial:** 78°, lo que provoca estaciones extremas y asimétricas.

Krion V posee **tormentas hexagonales persistentes** en ambos polos, fenómeno probablemente originado por ondas planetarias estables en su atmósfera superior. Su peculiar inclinación axial podría deberse a un impacto colosal en épocas tempranas o a interacciones gravitacionales con otro cuerpo ya expulsado del sistema.

Luna destacada:

- **Calther:** Satélite capturado, con órbita retrógrada y superficie cubierta por hielos ricos en metano. Su inestabilidad orbital sugiere que podría ser expulsada en el próximo millón de años.

6.3 Sistemas de anillos y lunas notables

Tanto Zephyros IV como Krion V presentan estructuras de anillos visibles, aunque los de Krion son más delgados y oscuros, compuestos mayoritariamente por polvo carbonáceo. Las lunas interiores de Zephyros interactúan gravitacionalmente con el sistema de anillos, generando **ondas espirales** similares a las observadas en Saturno.

Adéndum: ¿Son las lunas exteriores superhabitables?

Si bien los planetas gigantes exteriores no son habitables, varias de sus lunas ofrecen escenarios tentadores para la astrobiología. **Selvaris**, con su océano interno protegido por hielo, podría albergar ecosistemas impulsados por calor geotérmico y reacciones químicas entre agua y minerales del núcleo. **Calther**, a pesar de su superficie gélida y órbita inestable, podría contener bolsas internas de amoníaco líquido que actúen como anticongelante natural, manteniendo microambientes habitables durante parte de su órbita.

7. Lunas y satélites menores

En el sistema **Althéra**, las lunas no son simples acompañantes planetarios: muchas de ellas presentan actividad geológica, océanos internos o trayectorias orbitales inusuales. La detección y caracterización de estas lunas proviene en gran parte de estudios de tránsito y observaciones indirectas, por lo que varios detalles siguen siendo objeto de investigación.

7.1 Lunas geológicamente activas

- **Tirros** (*Satélite de Zephyros IV*)
 - **Diámetro estimado:** 3.200 km.
 - **Actividad:** Intensa actividad volcánica, con chorros de dióxido de azufre y lava basáltica rica en hierro.
 - **Origen probable:** Formada *in situ*, modelada por mareas extremas debido a su cercanía a Zephyros y la influencia gravitacional de Selvaris.
 - **Fenómeno destacado:** “Tormentas de ceniza globales” que oscurecen temporalmente la superficie.
- **Calther** (*Satélite de Krion V*)
 - **Diámetro estimado:** 2.600 km.
 - **Actividad:** Fracturas criogénicas que expulsan mezclas de agua y metano.
 - **Órbita:** Retrógrada e inestable, con precesión acelerada que podría provocar su colisión con Krion V o su expulsión del sistema en el próximo millón de años.

7.2 Lunas oceánicas bajo hielo

- **Selvaris** (*Satélite de Zephyros IV*)
 - **Diámetro estimado:** 4.500 km.
 - **Corteza:** Capa de hielo de ~40 km de espesor.
 - **Océano interno:** Confirmado mediante análisis de oscilaciones gravitatorias detectadas por el **LUVOIR-B**.

- **Potencial habitabilidad:** Calor interno generado por marea gravitatoria, con posible actividad hidrotermal en el fondo oceánico.

7.3 Satélites capturados y órbitas irregulares

Además de **Calther**, el sistema contiene varios satélites irregulares:

- **Nydra** (*Luna de Krion V*): cuerpo rocoso-helado de 160 km, órbita excéntrica y fuertemente inclinada.
- **Orpheya** (*Luna de Zephyros IV*): asteroide metálico capturado, con alta reflectividad en el infrarrojo.

Estas lunas probablemente sean remanentes del **Cinturón de Arges** o del disco de escombros exterior, atrapadas por interacciones gravitacionales hace miles de millones de años.

Adéndum: ¿Y si la vida se esconde?

Aunque la atención se centra en **Selvaris** por su océano interno, algunos investigadores —como el equipo de la Dra. Mariela Estay— plantean que **Calther** podría presentar “**puntos calientes temporales**” en su subsuelo, impulsados por flexión mareal durante su órbita excéntrica. Incluso lunas menores como **Nydra** podrían contener depósitos de hielo mezclado con compuestos orgánicos complejos, potencial semilla para futuras colonizaciones humanas o bases de reabastecimiento en exploraciones interestelares.

8. Fenómenos destacados

El sistema **Althéra** es un escenario dinámico donde los fenómenos astronómicos se manifiestan con una belleza y complejidad difícil de encontrar en sistemas de una sola estrella. Entre ellos, uno de los más notables es la interacción constante entre el **Cinturón de Arges** y los planetas interiores, que da lugar a lluvias de meteoros dobles visibles desde Aurelia III. Debido a la iluminación combinada de Althéra A y B, estos meteoros generan estelas de colores inusuales: plateadas bajo la luz dorada de Althéra A y anaranjadas bajo la luz más cálida de Althéra B, un espectáculo que ha sido registrado en imágenes de alta resolución por el telescopio espacial **James Webb**.

Otro fenómeno fascinante son las **auroras polares dobles** en Zephyros IV. El potente campo magnético del gigante gaseoso interactúa no solo con el viento estelar, sino con las variaciones periódicas del flujo de plasma generadas por la rotación y actividad de ambas estrellas. El resultado es un ballet de cortinas luminosas que puede extenderse miles de kilómetros por encima de la atmósfera superior, cambiando de tonalidades verde-azuladas a magentas intensos. Estas auroras se reflejan en los anillos helados del planeta, creando destellos visibles desde la órbita de Aurelia III.

Las resonancias orbitales juegan también un papel clave en la estructura del sistema. Los movimientos sincronizados entre las lunas de Zephyros y Krion, junto con la

influencia gravitatoria combinada de ambos gigantes, mantienen despejadas regiones enteras del disco de escombros exterior. Este “barrido” gravitacional, sin embargo, no es perfecto: de cuando en cuando, un objeto helado es lanzado hacia el interior, cruzando la zona habitable y provocando espectaculares pasos cercanos a Aurelia III, sin llegar a impactar gracias a la protección gravitatoria de Zephyros IV.

Por último, los eclipses dobles constituyen un fenómeno exclusivo de sistemas como Althéra. Desde la superficie de Aurelia III, hay momentos en que una estrella oculta parcialmente a la otra, generando descensos temporales en la luz total que modifican las tonalidades del cielo y afectan la temperatura superficial durante varias horas. Para una eventual civilización en Aurelia III, estos eclipses podrían haber tenido un profundo impacto cultural, siendo marcadores naturales de estaciones o de ciclos agrícolas.

Adéndum: Debate científico sobre la habitabilidad de Aurelia III

La comunidad científica se encuentra dividida respecto a las implicaciones de los datos de Aurelia III. Por un lado, investigadores como la Dra. Mariela Estay sostienen que el desequilibrio químico de su atmósfera constituye una “firma biológica sólida” y que su ubicación estable en la zona habitable circumbinaria refuerza la probabilidad de vida. Por otro, expertos más cautelosos, como el Dr. Jonathan Kepler-Saunders, advierten que procesos abióticos complejos —incluyendo fotólisis catalizada por la radiación combinada de las dos estrellas— podrían generar patrones gaseosos que imitan señales biológicas. Entre ambos extremos, un grupo intermedio propone que Aurelia III podría estar en una “pre-biosfera”, una etapa química avanzada previa al surgimiento de organismos, lo que la haría igualmente valiosa para comprender el origen de la vida.

9. Conclusiones y perspectivas futuras

El sistema binario **Althéra** se ha consolidado como uno de los laboratorios naturales más fascinantes para la astronomía y la astrobiología contemporáneas. Su combinación de una zona habitable circumbinaria estable, un planeta potencialmente habitable —**Aurelia III**— y lunas ricas en agua, lo convierten en un caso de estudio único para explorar cómo la vida podría surgir y adaptarse en entornos con condiciones estelares complejas.

La dinámica orbital de sus planetas y lunas, modelada con precisión gracias a la cooperación de telescopios espaciales como el **James Webb**, el **LUVOIR-B** y el próximo **Habitable Worlds Observatory**, ha permitido trazar un mapa detallado del sistema, aunque aún persisten incertidumbres sobre la composición interna de varios cuerpos. La interacción gravitatoria y radiativa de sus dos estrellas plantea preguntas fundamentales sobre la estabilidad climática a escalas de millones de años, un aspecto crucial para evaluar la habitabilidad a largo plazo.

En el futuro, el **Programa Althéra** prevé varias líneas de investigación prioritarias: observaciones de espectroscopía directa de superficie en Aurelia III, estudios de plumas en Selvaris mediante occultaciones estelares, y simulaciones avanzadas sobre la resiliencia de biosferas en entornos circumbinarios. En el plano más ambicioso, se discuten misiones interestelares de tipo **Breakthrough Starshot** adaptadas para sondas científicas, capaces de alcanzar el sistema en menos de medio siglo.

Si los indicios actuales se confirman, Althéra podría convertirse en el primer ejemplo documentado de un mundo con vida más allá del Sistema Solar. Y aun si la vida no está presente, sus particularidades físicas y orbitales nos permitirán refinar nuestros modelos de formación planetaria y habitabilidad, preparándonos para interpretar con mayor precisión los hallazgos que nos esperan en las próximas décadas. En cualquier caso, el cielo doble de Althéra seguirá siendo un faro para la exploración humana, recordándonos que la diversidad del cosmos siempre supera nuestras expectativas.

Anexo: Estabilidad de órbitas circumbinarias (Holman & Wiegert, 1999)

Como anexo al estudio de la arquitectura orbital de Althéra, resulta relevante considerar el límite teórico de estabilidad circumbinaria definido por Holman & Wiegert (1999). Esta formulación permite calcular la distancia mínima a la que un planeta puede mantener una órbita estable alrededor de dos estrellas, en función de la separación, la excentricidad del binario y la relación de masas estelares. Aplicado a Althéra, el valor obtenido es de aproximadamente **1,19 UA**, lo que implica que cualquier órbita interior a esa distancia sufriría perturbaciones

gravitatorias capaces de desestabilizarla a largo plazo. Sin embargo, al incorporar factores adicionales como resonancias con los gigantes exteriores, excentricidades planetarias y variaciones inducidas por la actividad estelar, el margen práctico de seguridad se sitúa en torno a **1,8 UA**. Esta cifra explica por qué no se observan planetas estables más cerca del centro binario y por qué **Aurelia III**, ubicada en el corazón de la zona habitable, disfruta de condiciones dinámicamente estables.

Límite interior teórico de estabilidad para órbitas circumbinarias:

$$a_{crit} = a_b [1.60 + 5.10 e_b - 2.22 e_b^2 + 4.12 \mu - 4.27 e_b \mu - 5.09 \mu^2 + 4.61 e_b^2 \mu^2]$$

Parámetros de Althéra:

- Separación media del binario: $a_b = 0,42 \text{ UA}$
- Excentricidad del binario: $e_b = 0,12$
- Masas estelares: $M_A = 1,28 M_\odot, M_B = 0,82 M_\odot$
- Relación de masas: $\mu = \frac{M_B}{M_A+M_B} = \frac{0,82}{1,28+0,82} \approx 0,3905$

Sustituyendo:

$$\text{factor} \approx 2,8228 \Rightarrow a_{crit} = 0,42 \times 2,8228 \approx 1,186 \text{ UA}$$

Interpretación: a_{crit} indica el **límite interior teórico** por debajo del cual las órbitas circumbinarias tienden a ser inestables. En la práctica, y considerando **resonancias con los gigantes exteriores, excentricidades planetarias y actividad estelar**, adoptamos un **margen conservador $\approx 1,8 \text{ UA}$** como borde operativo de estabilidad. Este valor es coherente con la arquitectura descrita y con la ubicación de **Aurelia III** en pleno dominio estable.

Anexo: Miscelánea

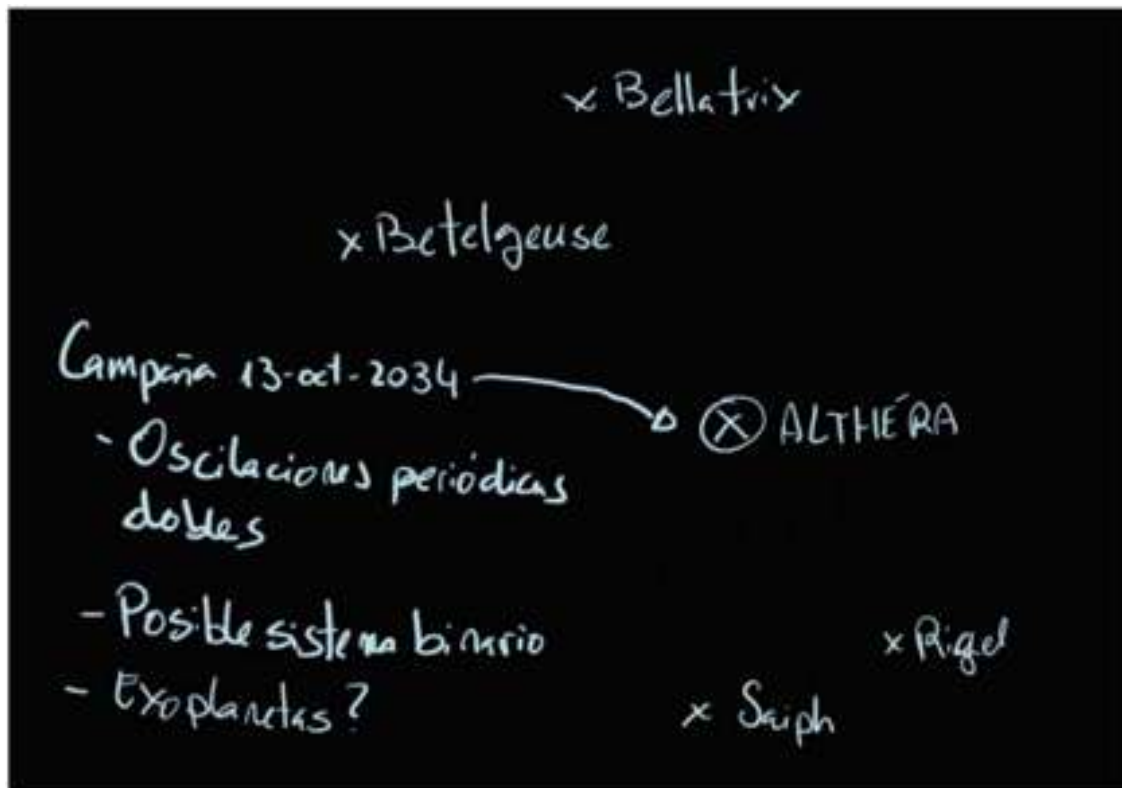


Figure 3 Notas de Mariela Estay el día del descubrimiento

Anexo: Listado de cuerpos menores

Nombre	Tamaño	Descripción
Arges-1 "Pyron"	320 km	Asteroide metálico (tipo M) con alto contenido en hierro-níquel; órbita estable en el centro del Cinturón de Arges.
Arges-2 "Lythos"	210 km	Asteroide rocoso (tipo S), superficie muy fracturada por impactos antiguos.
Arges-3 "Calyx"	95 km	Asteroide carbonáceo oscuro (tipo C) con albedo extremadamente bajo.
Arges-4 "Virel"	180 km	Asteroide mixto roca-hielo, probable remanente de un protoplaneta fallido.
Arges-5 "Thal"	60 km	Asteroide alargado con rotación rápida; posible binario de contacto.
Arges-6 "Mordax"	140 km	Asteroide metálico brillante, detectable desde Aurelia III por reflexión solar.
Arges-7 "Nysa"	72 km	Asteroide rico en silicatos claros; alto albedo relativo.
Arges-8 "Kelmon"	55 km	Asteroide orgánico con compuestos volátiles congelados en el subsuelo.
Arges-9 "Orveth"	410 km	El mayor objeto del cinturón; posible planeta enano con forma casi esférica.

<u>Nombre</u>	<u>Tamaño</u>	<u>Descripción</u>
Arges-10 “Silpha”	88 km	Asteroide con superficie estriada por fuerzas de marea pasadas.
Arges-11 “Rhyx”	34 km	Asteroide irregular con órbita ligeramente excéntrica.
Arges-12 “Eron”	120 km	Asteroide tipo S con vetas metálicas expuestas.
Arges-13 “Kyris”	67 km	Asteroide binario; dos lóbulos unidos por un cuello estrecho.
Arges-14 “Damar”	200 km	Asteroide diferenciado con núcleo metálico parcial.
Arges-15 “Ulren”	48 km	Asteroide poroso, probable pila de escombros.
Arges-16 “Phor”	160 km	Asteroide oscuro con fuerte absorción en infrarrojo.
Arges-17 “Nyxel”	92 km	Asteroide rico en carbono con trazas de aminoácidos simples.
Arges-18 “Vaelor”	130 km	Asteroide rocoso con inclinación orbital elevada.
Arges-19 “Ithra”	58 km	Asteroide con rotación caótica, probablemente tras una colisión reciente.